

نمذجة أنماط الابتلال تحت مصدر تنقيط خطى مدفون في تربة طباقية

احمد علي محمد العكيدى
a.alogaidi@uomosul.edu.iq

يونس محمد حسن
Y.alhadidi@uomosul.edu.iq

منى عبد الكريم محمد
muna.enp99@student.uomosul.edu.iq

جامعة الموصل - كلية الهندسة - قسم هندسة السدود والموارد المائية

تاريخ القبول: 5/9/2021

تاريخ الاستلام: 28/6/2021

الملخص

تهدف الدراسة الى نمذجة أنماط الابتلال لمقد التربة المتجانس والطباقى، وكذلك استبيان معادلة لتخمين معدل التصريف أثناء فترة التجهيز. شملت الدراسة اجراء 8 فحوصات مختبرية لمتابعة تقدم جبهة الابتلال مع الزمن في مقد تربة طباقى ومتجانس. تم استخدام نوعين من الترب (مزيجية طينية غرينبيه ومزيجية رملية)، وتم تثبيت المنقط على عمق 45 سم تحت سطح التربة، وإعداد مقاطع الترب ببعدين مختلفين وتغيير موقع الحد الفاصل بين الترب (عند المنقط، أسفل المنقط بـ 10 سم، فوق المنقط بـ 10 سم). بينت النتائج وجود توافق جيد بين مسافات التقدم المقايسة والمختومة بواسطة التنموذج المقرر حيث تراوح معدل التحديد R^2 بين 0.989 الى 0.826. كما أظهرت النتائج أن معدل تصريف المنقط ينخفض تدريجياً ويستمر بالانخفاض مع استمرار زمن التشغيل حتى يصل إلى قيمة ثانية تقريراً. ويزداد هذا الانخفاض بزيادة كل من نسبة محتوى الطين والكتافة الظاهرية للتربة وعمق المنقط والرطوبة الابتدائية. كما بينت النتائج أن أكبر مسافة لتقدم جبهة الابتلال في الاتجاهين الأفقي والعمودي كانت في مقاطع التربة المزيجية الرملية، بينما كانت أقل قيمة لها في مقاطع التربة المزيجية الطينية الغرينبيه وإنفس زمن التشغيل. كما ساعد الحد الفاصل بين الطبقات على الانتشار الأفقي والعمودي خاصة عندما تم وضع التربة المزيجية الطينية الغرينبيه أسفل المنقط مما ساعد في انتشار المياه في الاتجاه الأفقي والعمودي نحو الأعلى.

الكلمات الدالة:

الري بالتنقيط تحت السطحي؛ نمط الابتلال؛ معادلات تجريبية؛ الترب الطباقية

This is an open access article under the CC BY 4.0 license (<http://creativecommons.org/licenses/by/4.0/>).

<https://rengj.mosuljournals.com>

1. المقدمة

تجهيز المياه في بعض أنواع الترب [13,12,11]. نظراً لاملاء المنطقة المسامية عند مخرج المنقط المدفون بالماء، فإن تسرب المياه المجهزة يكون محدداً بالخصائص الهيدروليكيه للتربة، مما يؤدي إلى حدوث ضغط موجب حول مخرج المنقط [14].
استخدم بعض الباحثين نماذج عدديه لمحاكاة أنماط الابتلال حيث استخدم قسم منهم برنامج 2D Hydrus-2D والبعض الآخر استخدم نماذج تحليلية مثل برنامج WetUp وأخرون استخدمو نماذج تجريبية [20,19,13,5]. تهدف الدراسة الحالية إلى متابعة تقدم جبهة الابتلال في مقد تربة طباقى ومتجانس عند أزمنة مناسبة ومختاره واستبيان معادلة لتخمين تصريف المنقط المدفون خلال فترة التجهيز، فضلاً عن استبيان معادلات تجريبية لتخمين نمط الابتلال.

2. مواد وطرق البحث

2.1. العمل المختبرى

للحصول على بيانات توضح تأثير موقع المنقط على نمط الابتلال تم إجراء 8 فحوصات مختبرية لمتابعة تقدم جبهة الابتلال مع الزمن في مقد تربة طباقى ومتجانس تحت مصدر تنقيط خطى تحت السطح. وقد تم استخدام حاوية حديديه على شكل متوازي مستطيلات مفتوحة من الأعلى وبأبعاد داخلية (الطول 140 سم، الارتفاع 100 سم، والعرض 5.5 سم)، الواجهة الامامية مصنوعة من لوح شفاف من اللدائن الصلب (بلاستيك) لمتابعة تقدم جبهة الابتلال، الواجهة الخلفية عبارة عن صفيحة حديديه. تم استخدام تربة مزيجية طينية غرينبيه وتربة مزيجية رملية وخصائص هاتان التربتين موضحة في الجدول (1). تم في جميع التجارب تثبيت المنقط على عمق 45 سم تحت سطح التربة، وتم تهيئة مقد التربة الطباقى على ثلاثة انواع، الاول عندما يكون المنقط عند الحد الفاصل بين الطبقتين (أي أن الطبقة العلوية تكون بسمك 45 سم

يوفر الري بالتنقيط تحت السطح العديد من المزايا مقارنة بالري بالتنقيط السطحي، مثل تقليل فواد التبخّر من سطح التربة حيث يكون السطح جاف نسبياً، وكذلك الفرقة على اتصال الماء والمعنيات مباشرة إلى المنطقة الجذرية [1]. تستمر حركة المياه في التربة نتيجة الانحدارات الهيدروليكيه خلال فترة إضافة الماء والتي تسمى بطور الترطيب وعند ايقاف إضافة الماء من المنقط يستمر الماء بالانتشار وهذا ما يسمى بطور إعادة توزيع الرطوبة [2]. إن حركة المياه داخل التربة ناتجة من قوى الشد الشعري في جميع الاتجاهات وقوى الجذب الأرضي إلى الأسفل وبذلك فان الترب الناعمة أكثر تأثراً بقوى الشد الشعري من الترب الخشنة والتي تتأثر بقوى الجذب الأرضي [4,3]. بعد نمط الابتلال من العوامل المهمة في تحطيط وإدارة أنظمة الري بالتنقيط تحت السطحي، حيث يلعب دوراً كبيراً في تحديد المعمق المناسب لأنابيب التنقيط لإيصال الكمية المطلوبة من المياه إلى المنطقة الجذرية. إن دفن المنقطات على عمق كبير قد يسبب فقد بالمياه بسبب التخلل العميق مما يؤدي إلى انخفاض توافر المياه في المنطقة الجذرية [6,5]. تأثير الري يرتبط ارتباطاً وثيقاً بالتربيه، حيث يؤثر الترطيب المعقّد للتربيه، وخصوصاً التربة الطباقية على توزيع الرطوبة ونمو المحاصيل. حيث تم اجراء العديد من التجارب المختبرية والحقائقية لمعرفة حركة المياه في طبقات التربة [8,7]. يؤثر قوام وسمك طبقات التربة على خصائص الارتشاح، حيث لا يمكن لجبهة الابتلال ان تدخل الى الطبقة السفلی حتى تتشعب رطوبة التربة في الطبقة العلويه، خصوصاً عندما تكون الايصالية الهيدروليكيه للطبقة السفلی أكبر من تلك الموجودة في الطبقة العليا، وبذلك فان واجهة الطبقة تعيق الارتشاح [10,9]. يتأثر تصريف المنقط المدفون بالخصائص الهيدروليكيه للتربة، والتي يمكن أن تتسبّب في اختلاف



الشكل (1): يوضح حاوية التربة مع منظومة إضافة الماء

2.2.2. تخمين أبعاد نمط الابتلال لمصدر تنقيط خطى تحت السطح
من خلال الفحوصات المختبرية وباستخدام برنامج الرسم الهندسي AutoCAD-2018، تم رسم أنماط الابتلال وجمع احداثيات النقاط باعتماد نظام الاحداثيات القطبية (polar coordinates) للاستدلال على موقع النقاط الواقعه على حافة جبهات الابتلال عند الازمنة المختلفة، حيث يحدد موقع كل نقطة بمسافة تبعد عن مركز بصلة الابتلال وزاوية ميل عن المحور العمودي (β)، وتم تعين النقاط عند موقع تقاطع أربعة وعشرون خط يمر بمركز بصلة الابتلال (موقع المنقط) وتقاطع مع حافة جبهات الابتلال، أي بفاصله زاوية مقدارها 15° بين الخطوط المتعاكبة. من خلال البرنامج الاحصائي SPSS وباستنطاط نموذجين للتعبير عن مسافة النقدم للتراب المتجانسة والطباقية. تم استخدام البيانات المختبرية للنصف الایمن من نمط الابتلال باعتبار انتشار المياه حول المحور العمودي متناظر.

3.2.2. المعايير الإحصائية لتقييم أداء النماذج التجريبية
تم استخدام التحليل الإحصائي للتحقق من دقة أداء النماذج التجريبية التي تم استنطاطها لتخمين معدل التصريف الفعلى للمنقط (q لتر/ساعة) في مقد التربة المتجانس والطباقي، ومسافة قدم جبهة الابتلال (RR,R) لمقد التربة المتجانس والطباقي على التوالى. وذلك من خلال مقارنة كل من قيم البيانات المقاسة مختبرياً والقيم

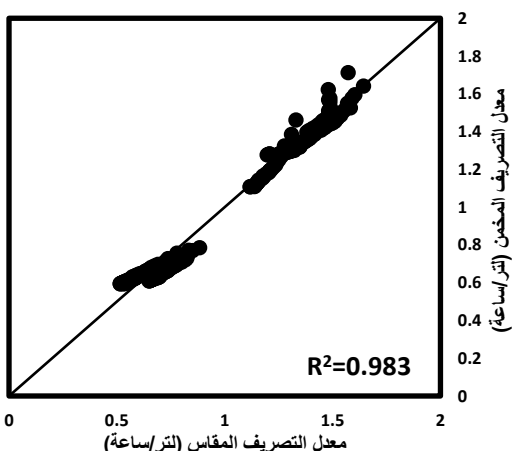
والطبقة السفلية تكون بسمك 55 سم) ولنوعي التربة بالتوالي، الحاله الثانية عندما يكون المنقط اسفل الحد الفاصل بين الطبقتين بـ10 سم (الطبقة العليا تكون بسمك 35 سم والسفلي تكون بسمك 65 سم ولنوعي التربة)، والحاله الثالثه عندما يكون المنقط اعلى من الحد الفاصل بين الطبقتين بـ10 سم (الطبقة العليا تكون بسمك 55 سم والطبقة السفلية تكون بسمك 45 سم ولنوعي التربة)، كما تم إجراء تجربتين للتربة المتجانسة لكلا النوعين من الترب. تم رص التربة بواسطه طرفة خشبيه على شكل طبقات ذات سمك منتظم مقادره 5 سم وتم تحديد كثافتها اعتماداً على حجم طبقة التربة والكتافه الظاهرية والرطوبه الابتدايه لكل نوع من الترب. تم تجهيز الماء عبر خزان علوي شفاف مدرج إسطواني، يرتبط بخزان تجهيز ذو منسوب ثابت الذي يتصل من أسفله بخراطوم ينتهي بالمنقط، ويحتوي خزان التجهيز على مطفح مائي ليحافظ على مستوى ثابت للماء في خزان التجهيز، يتم تجميع الماء الفائض عن سعة عيض التربة عبر المطفع المائي إلى أسطوانة مدرجة لقياس حجمه عند أزمنة مناسبة ومحددة، ويوضح الشكل (1) حاوية التربة ومنظومة إضافة الماء.

جدول 1: نتائج فحوصات التربة والكتافه الظاهرية

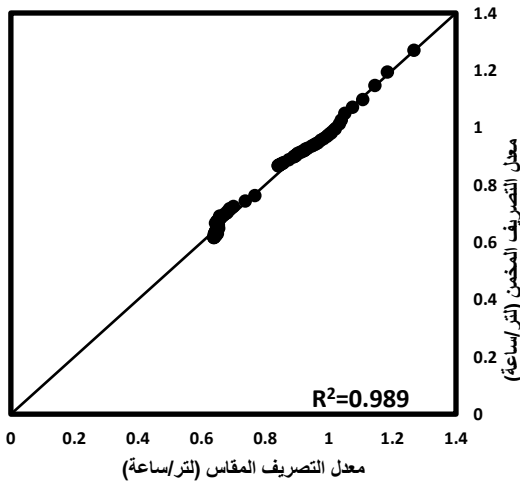
نسبة التربة	الكتافه الظاهرية الابتدايه %	المنطقة	الرمل %	الغرين %	الطين %	الرطوبه %
مزبوجية طينية غرينية	6.32	قوسيات	37	50	13	غم/سم ³
مزبوجية رملية	2.32	وانه	8	17	75	

2.2. استنطاط المعادلات الوضعية

2.2.1. تخمين معدل التصريف الفعلى للمنقط
تم استخدام قيم التصارييف المقاسة مختبرياً عند أزمنة محددة، في استنطاط علاقه تجريبية لتخمين معدل التصريف الفعلى المتناظر للمنقط تحت سطح التربة على امتداد زمن الاضافة ولنوعي مقد التربة المتجانسة والطباقية، باستخدام طريقة تحليل الانحدار лахطي (Nonlinear Regression Analysis) في البرنامج Special Program for Statistical (SPSS) System. حيث استخدمت البيانات المختبرية بواقع 258 قيمة لمقد التربة الطباقيه و88 قيمة لمقد التربة المتجانسة وكل من: معدل تصريف المنقط الفعلى المقابس Q (لتر/ساعة) عند الزمن (T دقique)، ومعدل الغيش الاساس لكل تربة Ib (ملم/ساعة) والرطوبه الكتالية الابتدايه للتربة θ_0 (سم²/سم)، وتصريف المنقط خارج حاوية التربة q_0 (لتر/ساعة).



الشكل (2): المقارنة بين القيم المقاسة مختبرياً لمعدل التصريف الفعلي للمنقط والمعلم المخمنة باستخدام النموذج التجريبي (4).



الشكل (3): المقارنة بين القيم المقاسة مختبرياً لمعدل التصريف الفعلي للمنقط والمعلم المخمنة باستخدام النموذج التجريبي (5).

3.2. استبيان معادلة مسافة تقدم جبهة الابتلال
من خلال البيانات المختبرية المقاسة وباستخدام البرنامج الإحصائي SPSS، تم إيجاد علاقة وضعية لتخمين مسافة تقدم جبهة الابتلال للتربة المتاجنسة بدلالة كل من: الإحداثيات القطبية (β) بالقياس الدائري (ل نقاط جبهة الابتلال عند الزمن T دقيقة)، ومعدل الغيش الاساس (Ib_1) (ملم/ساعة)، والرطوبة الكلية الابتدائية (θ_{i1})، والكثافة الظاهرية (ρ_b) (غم/سم³)، إضافة إلى معدل التصريف الفعلي المقاس (q_o) (تر/ساعة) على مقد التربة المتاجنسة (q_h) (تر/ساعة)، بعد تحويل وحدته إلى (سم³/دقيقة/سم). تم التعديل عن بعد المخمن بين مصدر التقاطع تحت السطح وجبهة الابتلال لمقد التربة المتاجنس (R):

$$R = 0.1544 * q^{0.0891} * T^{0.48} * (2.138 + \beta)^{0.489} * Ib^{0.823} * \theta^{0.1335} \quad (6)$$

يوضح الشكل (4) مقارنة بين القيم المقاسة مختبرياً والمعلم المخمنة من المعادلة (6). يتبيّن من الشكل وجود توافق كبير بين القيم المقاسة مختبرياً والمعلم المخمنة. كما تم استبيان علاقه وضعية لتخمين مسافة التقدم لمقد التربة الطبقي بدلالة كل من: الإحداثيات القطبية (β) بالقياس الدائري (ل نقاط جبهة الابتلال عند الزمن T دقيقة)، ومعدل الغيش الاساس لطبقة التربة المحيطة بالمنقط (Ib_1) (ملم/ساعة)،

المخمنة من النماذج المختبرية وذلك باستخدام برنامج Excel لإيجاد بعض المعايير الإحصائية مثل جذر متوسط مربع الخطأ (RMSE)، ومعدل الخطأ المطلق (MAE)، ومعامل التحديد (R^2)، وحسب المعادلات الآتية [18]:

$$RMSE = \left[\frac{1}{N} \sum_{i=1}^N (P_i - O_i)^2 \right]^{0.5} \quad (1)$$

$$MAE = \frac{1}{N} \sum_{i=1}^N |P_i - O_i| \quad (2)$$

$$R^2 = 1 - \frac{\sum_{i=1}^N (P_i - O_i)^2}{\sum_{i=1}^N (O_i - \bar{O})^2} \quad (3)$$

حيث أن: N = عدد القيم، P_i = القيم المخمنة لمسافة تقدم جبهة الابتلال (سم)، O_i = القيم المقاسة لمسافة تقدم جبهة الابتلال (سم)، \bar{O} = معد القيم المقاسة لمسافة تقدم جبهة الابتلال (سم).

3. النتائج والمناقشة

3.1. استبيان معادلة التصريف

من خلال البيانات المختبرية المقاسة تم استبيان معادلة لتخمين معد التصريف الفعلي للمنقط في مقد التربة الطبقي، حيث استخدمت البيانات المختبرية بواقع 256 قيمة لمقد التربة الطبقي بدلالة كل من: معد التصريف المنقط الفعلي المقاس Q (تر/ساعة) عند الزمن T (دقيقة)، ومعدل الغيش الاساس لطبقة التربة المحيطة بالمنقط (Ib_1) (ملم/ساعة)، ومعدل الغيش الاساس لطبقة التربة البعيدة عن المنقط (Ib_2) (ملم/ساعة) والرطوبة الكلية الابتدائية لطبقة التربة المحيطة بالمنقط (θ_{i1})، والرطوبة الكلية لطبقة التربة بعيدة عن المنقط (θ_{i2}) والكثافة الظاهرية لطبقة التربة المحيطة بالمنقط (ρ_{b1}) (غم/سم³)، والكثافة الظاهرية لطبقة التربة بعيدة عن المنقط (ρ_{b2}) (غم/سم³) إضافة إلى تصريف المنقط خارج حاوية التربة (q_o) (تر/ساعة)، حيث تم التعديل عن معد التصريف الفعلي للمنقط (q_L) (مقد التربة الطباقية) بالمعادلة التالية:

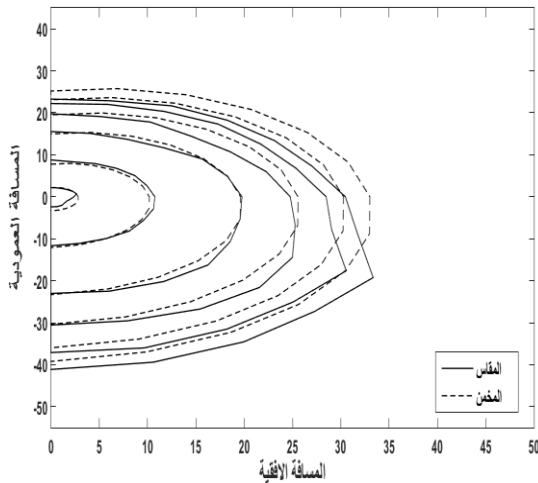
$$q_L = 0.798 * q_o^{0.624} * \frac{(Ib_1/\rho_{b1})^{0.1776}}{\left(\frac{Ib_2}{\rho_{b2}} \right)^{0.02} * T^{0.076} * \left(\frac{\theta_{i1}}{\theta_{i2}} \right)^{0.234}} \quad (4)$$

كما تم استخدام البيانات المختبرية بواقع 88 قيمة لمقد التربة المتاجنسة وكل من: معد تصريف المنقط الفعلي المقاس Q (تر/ساعة) عند الزمن T (دقيقة)، ومعدل الغيش الاساس لكل تربة Ib (ملم/ساعة) والرطوبة الكلية الابتدائية للتربة θ_i ، والكثافة الظاهرية ρ_b (غم/سم³) وتصريف المنقط خارج حاوية التربة q_o (تر/ساعة)، حيث تم التعديل عن معد التصريف الفعلي للمنقط (q_h) (مقد التربة المتاجنسة) بالمعادلة التالية:

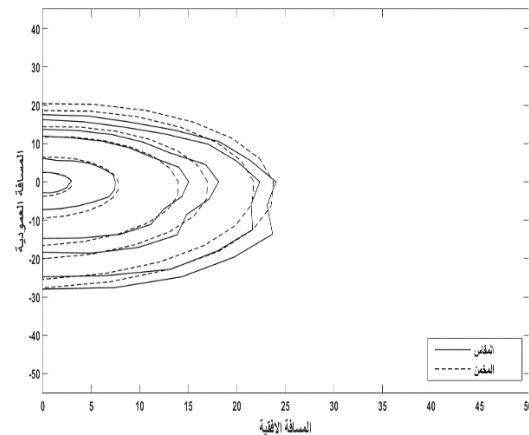
$$q_h = 0.2 * \frac{(Ib * \rho_b)^{0.553} * (\theta_i + q_o^{0.91})^{0.807}}{T^{0.082}} \quad (5)$$

يعرض الشكل (2) و(3) المقارنة بين القيم المقاسة مختبرياً لمعد التصريف الفعلي للمنقط والقيم المخمنة باستخدام النموذج التجريبي. ويتبين من خلال الشكلين وجود توافق كبير بين القيم المقاسة مختبرياً والمعلم المخمنة من المعادلات (3) و(4)، ونظرًا لهذا التوافق العالي فقد تم الاعتماد على المعادلات (3) و(4) في تخمين التصريف الفعلي للمنقط لمقد التربة المتاجنس والطبقي.

الشكل 5: مقارنة بين القيم المقاومة مختبرياً والمختمنة من المعادلة (7) بعد جبهة الابتلال عن مصدر تنقيط خطى في مقد طباقى.



الشكل 6: أنماط الابتلال في مقد التربة المتاجنس (تربيه مزيجية رملية) المقاس مختبرياً والمختمن باستخدام المعادلة (6).



الشكل 7: أنماط الابتلال في مقطع التربة الطباقى (وضع التربة المزيجية الطينية الغرينية بالطبقة العليا ووضع التربة المزيجية الرملية بالطبقة السفلية، الحد الفاصل أسفل المنشئ بـ 10 سم)، المقاس مختبرياً والمختمن باستخدام المعادلة (7).

تم تقييم أداء المعادلات الوضعية المختمنة باستخدام المعايير الإحصائية، حيث يعرض الجدول (2) قيم بعض المعايير الإحصائية الناتجة حيث يتبين وجود توافق جيد بين القيم المقاومة والقيم المختمنة من المعادلات الوضعية.

الجدول (2): المعايير الإحصائية لتقدير المعادلات الوضعية

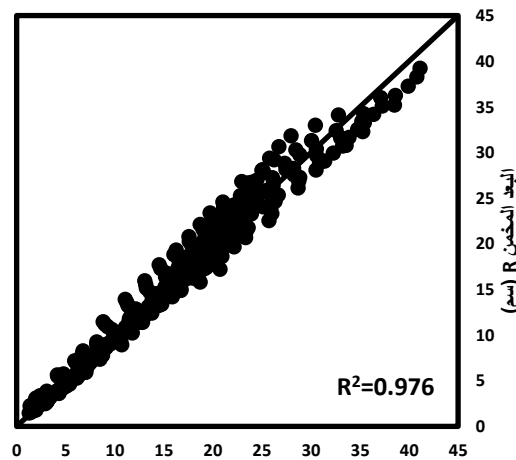
المعيار	نوع المقد	RMSE	MAE	R ²
q (l/hr)	متاجنس	0.0175	0.0146	0.989
q (l/hr)	طباقى	0.0467	0.0381	0.983
R (cm)	متاجنس	1.408	1.08	0.976
RR (cm)	طباقى	4.537	3.099	0.842

تم استخدام نتائج معادلة (4) لرسم الاشكال (9,8). حيث يعرض الشكل (8) تغير معدل تصريف المنشئ مع الزمان لمصدر تنقيط خطى تحت السطح لمقد تربة طباقى ولثلاث أنواع من الترب بمعدل غيض اساس لطبقة التربة المحيطة بالمنطقة (طبقة الاولى) (Ib_1) (مفترض) (16,13,9) ملم/ساعة، ومعدل غيض اساس للطبقة

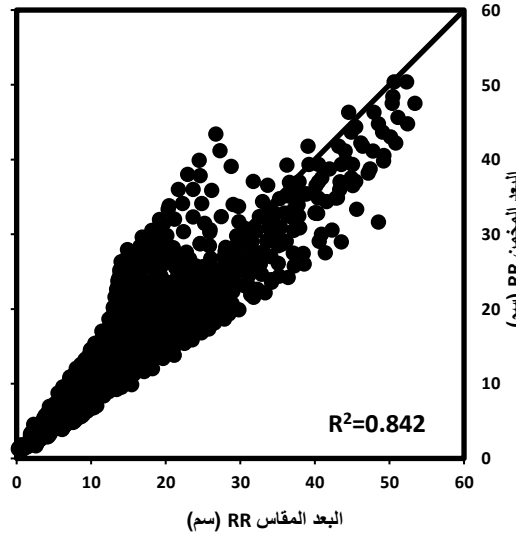
ومعدل الغيض الاساس لطبقة التربة البعيدة عن المنشئ (Ib₂) (ملم/ساعة) والرطوبة الكتليلية الابتدائية لطبقة التربة المحيطة بالمنطقة (θ_{i1})، والرطوبة الكتليلية لطبقة التربة البعيدة عن المنشئ (θ_{i2})، والكتافه الظاهرية لطبقة التربة المحيطة بالمنطقة (ρ_{b1} غم/سم³)، والكتافه الظاهرية لطبقة التربة البعيدة عن المنشئ (ρ_{b2} غم/سم³) إضافة الى معدل التصريف الفعلى المقاس للمنطقة عند ذلك الزمن (q_L لتر/ساعة) والمختمن من المعادلة (4) بعد تحويل وحداته الى (سم³/ دقيقة/سم)، كما تم التعبير عن بعد المنشئ بين مصدر التنقيط تحت السطح وجبهة الابتلال لمقد التربة الطباقى (RR):

$$RR = 0.005 * T^{0.543} * q^{0.166(3.154+\beta)} * Ib_1^{0.978} * Ib_2^{0.893} * \left(\frac{\theta_{i1}}{\theta_{i2}}\right)^{0.12} \quad (7)$$

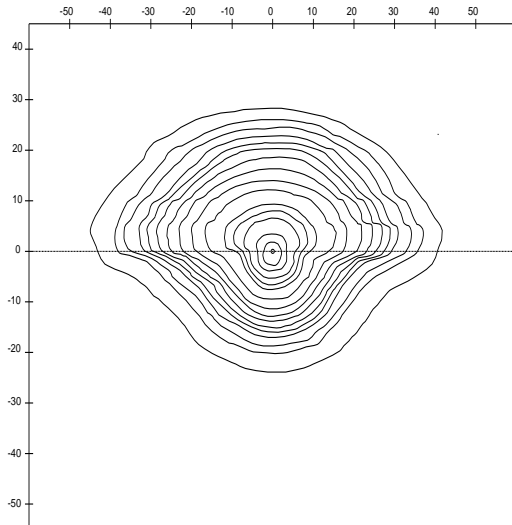
ويوضح الشكل (5) مقارنة بين القيم المقاومة مختبرياً والمختمنة من المعادلة (7). ويوضح الشكل (6) أنماط الابتلال في مقد التربة المتاجنس (تربيه مزيجية رملية) المقاس مختبرياً والمختمن باستخدام المعادلات (6)، ويوضح الشكل (7) أنماط الابتلال في مقطع التربة الطباقية (وضع التربة المزيجية الطينية الغرينية بالطبقة العليا ووضع التربة المزيجية الرملية بالطبقة السفلية، الحد الفاصل أسفل المنشئ بـ 10 سم) المقاس مختبرياً والمختمن من المعادلة (7).



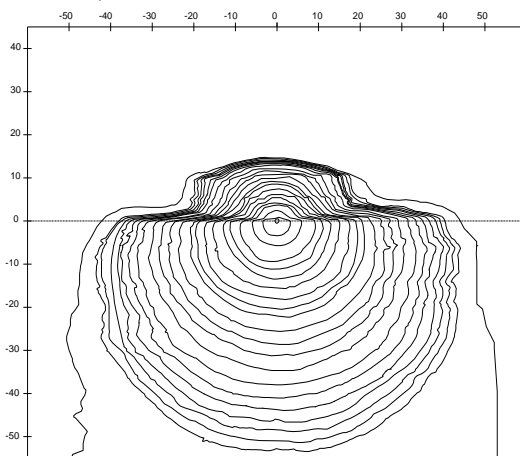
الشكل 4: مقارنة بين القيم المقاومة مختبرياً والمختمنة من المعادلة (6) بعد جبهة الابتلال عن مصدر تنقيط خطى في مقد طباقى متاجنس.



مقارنة بالاتجاه العمودي وأن النقمة العمودي نحو الاسفل يكون أكبر عند وضع التربة المزيجية الرملية بالطبيقة السفلى وأن القدم في طبقة التربة المتمثلة بالتربة المزيجية الطينية الغرينية يكون انتشاره قليلاً نسبياً وذلك بسبب أن التربة الناعمة قد عملت على منع التخلل العميق بسبب انخفاض الاصحالية المائية للتربة الناعمة. ويوضح الشكلين (16,17) انتشار الماء في مقدمة التربة المتباين حيث يكون انتشار الماء في التربة المزيجية الطينية الغرينية كروي تقريباً، وانتشار الماء في التربة المزيجية الرملية بيضوي تقريباً وهذا يتوافق مع نتائج [1].

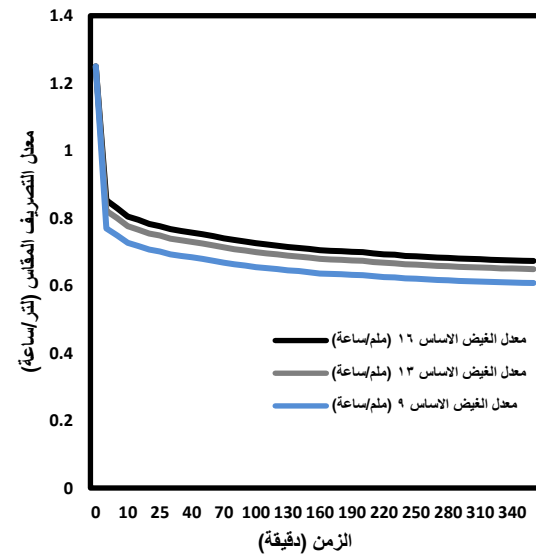


الشكل (10): موقع جبهات الابتلال في مقطع التربة الطباقية (وضع التربة المزيجية الرملية بالطبيقة العليا ووضع التربة المزيجية الطينية الغرينية بالطبيقة السفلى).



الشكل 11: موقع جبهات الابتلال في مقطع التربة الطباقية (وضع التربة المزيجية الطينية الغرينية بالطبيقة العليا ووضع التربة المزيجية الرملية بالطبيقة السفلى).

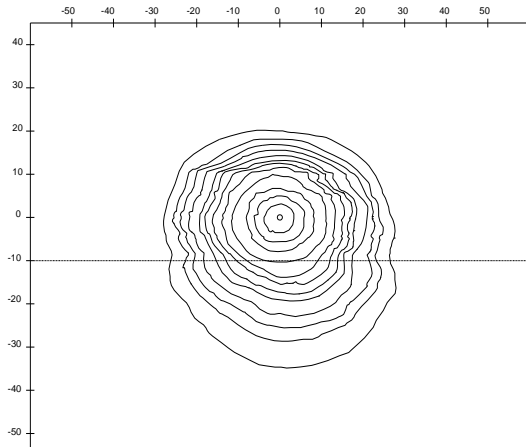
الثانية (Ib_2) ثابت (16.7 ملم/ساعة)، ورطوبة ابتدائية للطبقة الاولى ($\theta_{i1} = 6.3\%$)، ورطوبة ابتدائية للطبقة الثانية ($\theta_{i2} = 2.2\%$)، وزمن تشغيلي مقداره 360 دقيقة، ويتبين من خلال الشكل أن تغير معدل الغيض الأساس تأثير كبير على تصريف المنقط، يتبع من الشكل أن تغير معدل الغيض الأساس يؤثر بشكل كبير على معدل تصريف المنقط حيث يتضاعف مقدار الانخفاض في تصريف المنقط عكسياً مع قابلية غيش التربة لذلك يكون الانخفاض كبيراً في الترب الناعمة ذات معدلات الغيش المنخفضة مقارنة مع الترب الخشنة لأن ارتفاع نسبة محتوى الطين في الترب الناعمة يقلل من حجم الفراغات ويزيد من سعة انتشار الماء فيزيداد الضغط الموجب ويقل تصريف المنقط وهذا يتوافق مع نتائج [16].



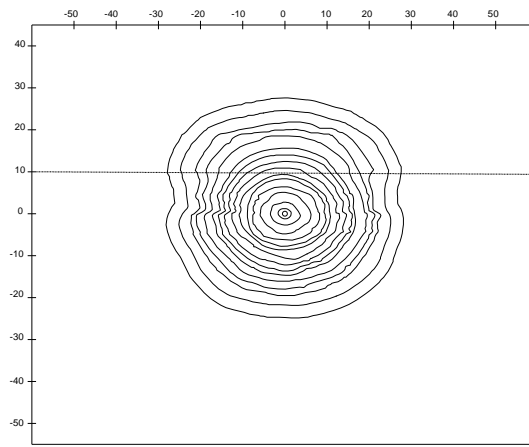
الشكل (8) تأثير تغير معدل الغيش الأساس على تصريف المنقط.

4.3. أنماط الابتلال

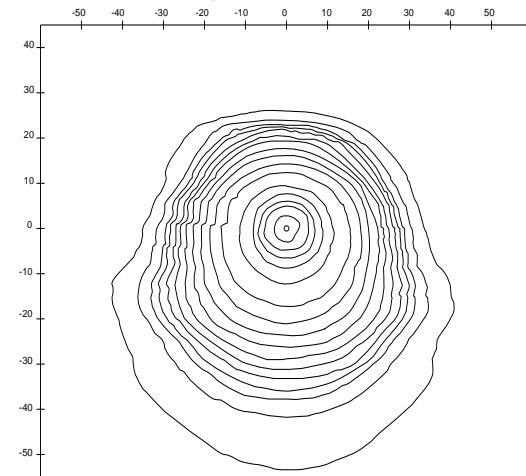
من خلال نتائج التجارب المختبرية توضح الأشكال (10-17) موقع جبهات الابتلال في مقاطع التربة الطباقية والمتباين، حيث يعرض الشكل (10) موقع أنماط الابتلال لمقطع التربة الطباقية عندما تكون التربة المزيجية الطينية الغرينية الطبقة السفلى وبسمك (55 سم)، ووضع التربة المزيجية الرملية طبقة عليا وبسمك (45 سم)، وبمعدل تشغيل ست ساعات، ووضع المنقط عند الحد الفاصل بين الطبقتين. ويمثل الشكل (11) موقع أنماط الابتلال لمقطع تربة طباقية عند وضع التربة المزيجية الرملية كلبقة سفلى وبسمك (55 سم)، ووضع التربة المزيجية الطينية الغرينية بالطبيقة العليا وبسمك (45 سم)، وعند معدل تشغيل ست ساعات. من الشكلين (10) و(11) للاحظ أن سرعة انتشار الماء في الاتجاه الأفقي تكون أكبر عند وضع التربة المزيجية الطينية الغرينية بالطبيقة السفلى وذلك بسبب إنخفاض الاصحالية المائية للتربة ذات القوام اللائم، وأن القدم العمودي نحو الاسفل يكون أكبر عند وضع التربة المزيجية الرملية بالطبيقة السفلى وذلك بسبب أن التربة المزيجية الرملية تحوي مسامات ذات أقطار كبيرة نسبياً وهذا يجعل قوى الجاذبية تلعب دوراً كبيراً في حركة الماء وهذا يتوافق مع نتائج [17]. ويوضح الشكلين (13,12) أنماط الابتلال عند وضع الحد الفاصل فوق المنقط بـ10 سم، حيث يلاحظ انتشار الماء بشكل أكبر في التربة المزيجية الرملية وفي الاتجاهين الأفقي والعمودي. أما الشكلين (15,14) فيوضحان أنماط الابتلال عند وضع الحد الفاصل أسفل المنقط بـ10 سم، حيث عملت التربة الناعمة على منع الارتفاع للأسفل مما أدى إلى انتشار الماء بشكل كبير في الاتجاه الأفقي



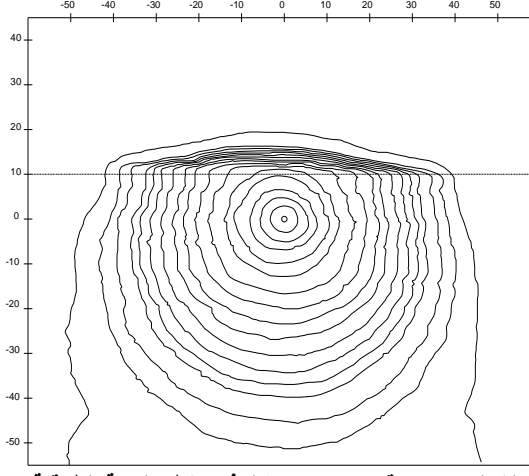
الشكل 15: موقع جبهات الابتلال في مقطع التربة الطباقية (وضع التربة المزيجية الطينية الغرينية بالطبقة العليا ووضع التربة المزيجية الرملية بالطبقة السفلية) الحد الفاصل أسفل المنقط بـ 10 سم.



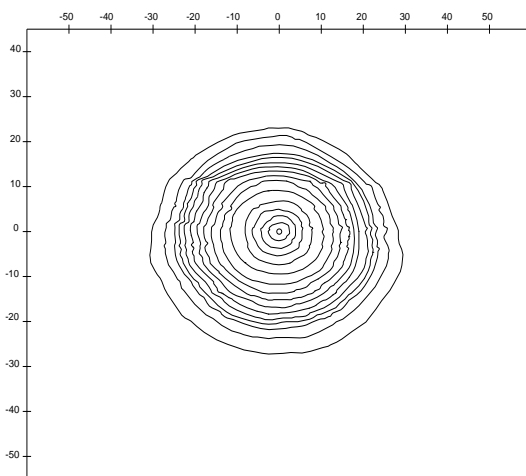
الشكل 12: موقع جبهات الابتلال في مقطع التربة الطباقية (وضع التربة المزيجية الرملية بالطبقة العليا وضع التربة المزيجية الطينية الغرينية بالطبقة السفلية) الحد الفاصل فوق المنقط بـ 10 سم.



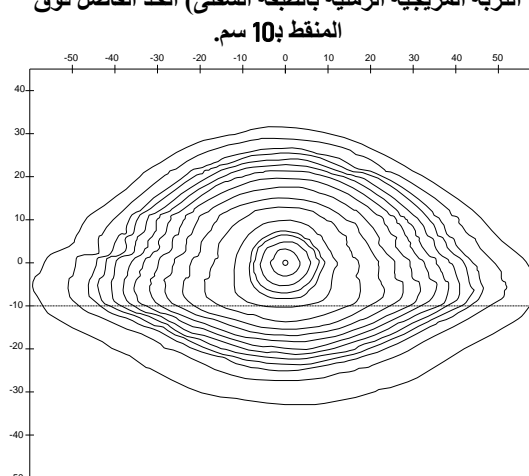
الشكل (16) موقع جبهات الابتلال في مقد التربة المتجانس (تربة مزيجية رملية).



الشكل 13: موقع جبهات الابتلال في مقطع التربة الطباقية (وضع التربة المزيجية الطينية الغرينية بالطبقة العليا ووضع التربة المزيجية الرملية بالطبقة السفلية) الحد الفاصل فوق المنقط بـ 10 سم.



الشكل 17: موقع جبهات الابتلال في مقد التربة المتجانس (تربة مزيجية طينية غرينية).



الشكل 14: موقع جبهات الابتلال في مقطع التربة الطباقية (وضع التربة المزيجية الرملية بالطبقة العليا وضع التربة المزيجية الطينية الغرينية بالطبقة السفلية) الحد الفاصل أسفل المنقط بـ 10 سم.

- [9] , K.W. Cho, K.G. Song, J.W. Cho, T.G. Kim, K.H. Ahn, Removal of nitrogen by a layered soil infiltration system during intermittent storm events. *Chemosphere* 2009, 76, 690–696.
- [10] G.Cui, J. Zhu, Prediction of unsaturated flow and water backfill during infiltration in layered soils. *J. Hydrol.* 2018, 557, 509–521.
- [11] N. Lazarovitch, U. Shani, T. L. Thompson, and A. W. Warrick. 2006. Soil hydraulic properties affecting discharge uniformity of gravity-fed subsurface drip irrigation. *J. Irrig. Drain Eng.* 132:531Y536.
- [12] L. Rodriguez-Sinobas, M. Gil, R. Sa'nchez, and L. Juana. 2009. Water distribution in subsurface drip irrigation systems. I: Simulation. *J. Irrig. Drain. (ASCE)* 135(6):721Y728.
- [13] A. K. Mohammed, & E. M. Ghazal, (2020). Modelling of Wetting Front Advance and Discharge Change of Subsurface Line Source. *Al-Rafidain Engineering Journal (AREJ)*, 25(2), 96-104.
- [14] M., L.Gil, R. Sinobas, L. Juana, R. Sa'nchez, and A. Losada. 2008. Emitter discharge variability of subsurface drip irrigation in uniform soils. Effect on water application uniformity. *Irrig. Sci.* 26:451Y458.
- [15] M. Gil, L. Rodri'guez-Sinobas, R. Sa'nchez, and L. Juana. 2011. Determination of maximum emitter discharge in subsurface drip irrigation units. *J. Irrig. Drain. (ASCE)* 137(3):325Y334.
- [16] Cai, Y., Zhao, X., Wu, P., Zhang, L., Zhu, D., & Chen, J. (2019). Effect of soil texture on water movement of porous ceramic emitters: A simulation study. *Water*, 11(1), 22.
- [17] C. Wang, D. Bai, Y. Li, X. Wang, Z. Pei, & Z. Dong, (2020). Infiltration Characteristics and Spatiotemporal Distribution of Soil Moisture in Layered Soil under Vertical Tube Irrigation. *Water*, 12(10), 2725.
- [18] C. J. Willmott, S. M. Robeson, and K. Matsuura. 2012. A refined index of model performance. *International Journal of Climatology*, 32(13): 2088-2094.
- [19] F. J. Cook, P. J. Thorburn, P. Fitch, & K. L. Bristow, (2003). WetUp: a software tool to display approximate wetting patterns from drippers. *Irrigation Science*, 22(3), 129-134.
- [20] Y. Fan, T. Zhao, G. Bai, & W. Liu, (2018). HYDRUS-2D simulation of soil wetting pattern with horizontal moistube-irrigation and analysis of its influencing factors. *Transactions of the Chinese Society of Agricultural Engineering*, 34(4), 115-124.

3. الاستنتاجات

- تم استنباط علاقة تجريبية لتخمين قيم معدل التصريف الفعلي للمنقط (9 لتر/ساعة) لقد التربة المتجلانس والطباقي، وبالصيغة المبينة في المعادلة (4) و(5).
- تم استنباط علاقة تجريبية لتخمين مسافة تقدم جبهة الابتلال في جميع الاتجاهات لقد التربة المتجلانس والطباقي، كما مبين في المعادلة (6) و(7).
- في الترب الطباقي الحد الفاصل بين الطبقتين من من الارشاج وساعد على الانتشار الافقى والعمودى عندما تم وضع التربة المزبجية الطينية الغرينية أسفل المنقط مما ساعد في انتشار المياه في التربة المزبجية الرملية.
- إن أكبر حجم مبنبل، ومسافة لتقديم جبهة الابتلال في الاتجاهين الأفقى والعمودى نحو الاسفل والأعلى كانت في مقاطع التربة المزبجية الرملية، بينما كانت أقل قيمة لها في مقاطع التربة المزبجية الطينية الغرينية ولنفس زمن التشغيل.
- تأثير الخصائص البيبروليكية للتربة على تصريف المنقط المنتبت تحت سطح التربة، حيث أن معدل تصريف المنقط ينخفض تدريجياً ويستمر بالانخفاض مع استمرار زمن التشغيل حتى يصل إلى قيمة ثابتة تقريباً، ويزداد هذا الانخفاض بزيادة كل من نسبة محتوى والكتافة الظاهرية للتربة وعمق المنقط والرطوبة الابتدائية.

4. المصادر

- C.R. Camp, (1998). "Subsurface Drip Irrigation: A Review" *Transactions of the American Society of Agricultural Engineers*, Vol. 41, No.5, pp. 1353-1367.
- M. Tariq Mahmood, (2014). Effect of Emitter Spacing on The Three-Dimensional Wetting Pattern. *Al-Rafidain Engineering Journal (AREJ)*, 22(3), 136-146.
- A.Y. Hachum, (1973) "Water movement in soil from trickle source" M.Sc. Thesis, Utah State University, Logan, Utah, USA.
- H. I. Yasin, & A. A. Al-Dabagh, (2020). Effect of Intermittent Water Application from Trickle Source on The Water Movement and Moisture Distribution in Layered Soil. *Tikrit Journal of Engineering Sciences*, 27(4), 87-97.
- M. D. Dukes, and J. M. Scholberg. 2005. Soil moisture controlled subsurface drip irrigation on sandy soils. *Appl. Eng. Agric.* 21(19):89Y101.
- A. A. Al-Ogaidi, A. Wayayok, , M. K. Rowshon, & A. F. Abdullah, (2016). Wetting patterns estimation under drip irrigation systems using an enhanced empirical model. *Agricultural Water Management*, 176, 203-213.
- J. Mohammadzadeh-Habili, M. Heidarpour, Application of the Green-Ampt model for infiltration into layered soils. *J. Hydrol.* 2015, 527, 824–832.
- K.X Soulis, S. Elmaloglou, Optimum soil water content sensors placement for surface drip irrigation scheduling in layered soils. *Comput. Electron. Agric.* 2018, 152, 1–8.

Modeling of Wetting Pattern Under a Linear Drip Source Buried in Layered Soil

Muna Abdulkareem
munaabdulkreem96@gmail.com

Younis Mohammed Hassan
y.alhadidi@uomosul.edu.iq

Ahmed A. M. Al-Ogaidi
a.alogaidi@uomosul.edu.iq

Department of Dams and Water Resources Engineering/ College of Engineering/ University of Mosul

Abstract

This study aims to model the wetting patterns of the homogeneous and stratified soil profile, and to derive an equation to estimate the discharge rate during the application time. The study included conducting 8 experiments to monitor the progress of the wetting patterns over time in a homogeneous and stratified soil profile. Two types of soils were used (silty clay loam and sandy Loam). The emitter was installed at a depth of 45 cm below the soil surface, and soil profiles were prepared in two different sequences and the location of the interface between the soils was changed (at the dripper, 10 cm below the dripper, 10 cm above the dripper). The results showed that there is a good agreement between the measured and estimated advancement distances, where the determination coefficient R² ranges between 0.826 to 0.989. Moreover, the results showed that the emitter discharge gradually decreases and continues to decline with the continuation of the operating time until it reaches an almost constant value. This reduction in emitter discharge increases by increasing the clay content, soil bulk density, emitter depth, and initial moisture content. The results also showed that the largest wetting front advance distance in the horizontal and vertical directions was in the sandy loam soil profiles, while it was the least valued in the silty clay loam profiles for the same operating time. The interface between the layers also helped in the horizontal and vertical diffusion, especially when the silty clay loam soil was placed below the dripper, which helped in the spreading of water in the horizontal and vertical direction upwards.

Keywords

Subsurface Drip Irrigation, Wetting Pattern, Layered Soil.